



NetWorks Sp. z o.o.
Laboratorium Badań Środowiskowych
ul. Józefa Piusa Dziekońskiego 3
00-728 Warszawa
e-mail: Laboratorium@networks.pl



AB 419

S P R A W O Z D A N I E 10899/2023/OS
Z POMIARÓW PÓL ELEKTROMAGNETYCZNYCH
WYKONANYCH DLA POTRZEB OCHRONY ŚRODOWISKA

Badany obiekt: Instalacja radiokomunikacyjna Orange Polska S.A.
Numer i nazwa: 763 (40048N!) ORUNIA NMT (GGD_GDANSK_WORCELLA44)
Adres: GDAŃSK, STANISŁAWA WORCELLA 44, Powiat m. Gdańsk, WOJ. POMORSKIE

Data wykonania pomiarów: 2024-02-02

Sprawozdanie z badań bez pisemnej zgody laboratorium nie może być powielane inaczej niż w całości.
Wynik przedstawione w niniejszym sprawozdaniu odnoszą się wyłącznie do badanego obiektu i do warunków i konfiguracji urządzeń w dniu wykonywania pomiarów.

1. Właściciel badanego obiektu:

Orange Polska S.A., Al. Jerozolimskie 160, 02-326 Warszawa

2. Zleceniodawca:

Orange Polska S.A., Al. Jerozolimskie 160, 02-326 Warszawa

3. Przedstawiciel zleceniodawcy:

NetWorks Sp. z o.o.

4. Zakres zlecenia:

Wykonanie badania i opracowanie sprawozdania z pomiarów natężenia pola elektrycznego i pola magnetycznego dla instalacji radiokomunikacyjnej Orange Polska S.A. zlokalizowanej w miejscowości GDAŃSK, STANISŁAWA WORCELLA 44.

5. Cel zlecenia:

Wykonanie pomiarów pól elektromagnetycznych w otoczeniu instalacji radiokomunikacyjnej 763 (40048N!) ORUNIA NMT (GGD_GDANSK_WORCELLA44) w odniesieniu do wymagań określonych w *Rozporządzeniu Ministra Klimatu z dnia 17 lutego 2020 r. w sprawie sposobów sprawdzania dotrzymania dopuszczalnych poziomów pól elektromagnetycznych w środowisku (Dz.U. 2022 poz. 2630)*.

6. Pomiary zostały wykonane przez:

Nowak Paweł

7. Informacje o źródłach pól elektromagnetycznych

7.1. Sposób identyfikacji badanych źródeł pól elektromagnetycznych

Identyfikacji źródeł i parametrów technicznych dokonano na podstawie analizy dokumentacji dotyczącej zlecenia oraz obserwacji miejsca wykonywania badań.

7.2. Opis miejsca zainstalowania anten i urządzeń technicznych. Opis obiektu badań i jego otoczenia

Instalacja radiokomunikacyjna zlokalizowana jest na dachu. Anteny zawieszono na maszcie usytowanym na dachu budynku. Urządzenia sterujące oraz zasilające zainstalowano w pomieszczeniu w piwnicy budynku na którym jest instalacją radiokomunikacyjna. Wokół instalacji znajduje się miasto.

Instalacja radiokomunikacyjna jest obiektem bezobsługowym. Okresowe stanowiska pracy związane są z prowadzonymi w zależności od potrzeb konserwacjami, przeglądami, strojeniem i naprawami.

7.3. Parametry techniczne źródła pola elektromagnetycznego

Dane przedstawiające maksymalne parametry pracy instalacji przekazane przez zleceniodawcę:

Parametry systemu nadawczo-odbiorczego:

Charakterystyka promieniowania		kierunkowa					
Rzeczywisty czas pracy [h/dobę]		24					
Warunki pracy		znamionowe					
Rodzaj wytwarzanego pola		stacjonarne					
Lp.	Częstotliwość lub zakresy częstotliwości pracy [MHz]	Typ/producent anteny	liczba anten	Azymut [°]	kąt pochylecia [°]	Wysokość środka elektrycznego anteny [m n.p.t]	Równoważna moc promieniowana izotropowo (EIRP) [W]
1	3600	AQQQ NSN	1	55	0-12**	18	44262
2	900/1800/2100	ATR4518R13v06 Huawei	1	55	-4-8**/1-13**/1-13**	18	16446
3	800/2600	ATR4518R13v06 Huawei	1	55	-4-8**/-2-10**	18	8676
4	3600	AQQQ NSN	1	205	0-12**	18	44262
5	900/1800/2100	ATR4518R13v06 Huawei	1	205	-4-8**/0-12**/0-12**	18	16446
6	800/2600	ATR4518R13v06 Huawei	1	205	-2-10**/0-12**	18	8676
7	3600	AQQQ NSN	1	285	0-12**	18	44262
8	900/1800/2100	ATR4518R13v06 Huawei	1	285	-4-8**/1-13**/1-13**	18	16446
9	800/2600	ATR4518R13v06 Huawei	1	285	-3-9**/0-12**	18	8676

* wskazane wartości kąta pochylecia anten, zgodnie z informacją uzyskaną od zleceniodawcy, są wartościami stałymi

** pomiary wykonane zgodnie z pkt 13., ppkt 2 załącznika do Rozporządzenia Ministra Klimatu z dnia 17 lutego 2020 r. (Dz. U. 2022, poz. 2630).

Transmisja realizowana drogą kablową

7.4 Inne źródła pól elektromagnetycznych

Na podstawie informacji otrzymanych od użytkownika oraz obserwacji otoczenia miejsca wykonywania pomiarów stwierdzono występowanie innych źródeł pola-EM, pracujących w systemie: telefonii komórkowej (800MHz-2600MHz), linii radiowych (5GHz – 90GHz), które istotnie wpływają na wyniki pomiarów.

8. Opis pomiarów

8.1. Metoda badań

Zgodna z rozporządzeniem Ministra Klimatu z dnia 17 lutego 2020 r. w sprawie sposobów sprawdzania dotrzymania dopuszczalnych poziomów pól elektromagnetycznych w środowisku (Dz.U. 2022 poz. 2630), określona w pkt 25 ppkt 1 załącznika do niniejszego rozporządzenia.

8.2. Termin pomiarów i warunki środowiskowe

Podczas wykonywania pomiarów pól elektromagnetycznych nie występowały opady atmosferyczne. Wyniki pomiaru parametrów pogodowych przedstawia poniższa tabela:

Data [rrrr-mm-dd]	Godzina [hh:mm-hh:mm]	Warunki środowiskowe			
		Temperatura [°C]		Wilgotność względna [%]	
2024-02-02	07:30-08:50	Przed pomiarem	Po pomiarach	Przed pomiarem	Po pomiarach
		3.2	3.4	68.4	68.8

Przedstawione wyżej warunki środowiskowe, występujące podczas wykonywania pomiarów pól elektromagnetycznych, są zgodne ze specyfikacją techniczną użytego zestawu pomiarowego.

Sprawozdanie z badań bez pisemnej zgody laboratorium nie może być powielane inaczej niż w całości.
 Wynik przedstawione w niniejszym sprawozdaniu odnoszą się wyłącznie do badanego obiektu i do warunków i konfiguracji urządzeń w dniu wykonywania pomiarów.

8.3. Warunki pracy urządzeń nadawczych

Podczas pomiarów w przypadku uzyskania wyniku pomiaru szerokopasmowego wykonanego zastosowaną metodą, dla zakresów częstotliwości od 10 MHz do 300 GHz, powiększonego o rozszerzoną niepewność pomiaru U dla współczynnika rozszerzenia $k = 2$ przekraczającego 70% najniższej dopuszczalnej wartości składowej elektrycznej lub magnetycznej pola dla objętych pomiarami zakresów częstotliwości, uwzględnia się poprawki pomiarowe przekazane przez zleceniodawcę, umożliwiające uwzględnienie maksymalnych parametrów pracy instalacji zgodnie z pkt 7 załącznika do Rozporządzeniem Ministra Klimatu z dnia 17 lutego 2020 r. w sprawie sposobów sprawdzania dotrzymania dopuszczalnych poziomów pól elektromagnetycznych w środowisku (Dz. U. 2022, poz. 2630) zaznaczając, że wymagane jest wykonanie pomiaru z wykorzystaniem miernika selektywnego. W przypadku uzyskania wyniku pomiaru szerokopasmowego wykonanego zastosowaną metodą, dla zakresów częstotliwości od 10 MHz do 300 GHz, powiększonego o rozszerzoną niepewność pomiaru U dla współczynnika rozszerzenia $k = 2$ nieprzekraczającego 70% najniższej dopuszczalnej wartości składowej elektrycznej lub magnetycznej pola dla objętych pomiarami zakresów częstotliwości, nie uwzględnia się poprawek pomiarowych.

8.4. Wyposażenie pomiarowe

Zestaw pomiarowy służący do pomiaru natężenia składowej elektrycznej pola elektromagnetycznego złożony z szerokopasmowego miernika i sondy pomiarowej:

Oznaczenie miernika	Producent	Model	Numer fabryczny	Oznaczenie sondy	Producent	Model	Numer fabryczny
MW-08	Wavecontrol	Miernik pól elektromagnetycznych SMP2	22SN2090	SW-15	Wavecontrol	Sonda WPF60	22WP230221

Mierniki natężenia pola elektromagnetycznego podlegają okresowemu sprawdzeniu zgodnie z procedurą wewnętrzną P-03 i PB-01. Świadczenie wzorcowania zestawu pomiarowego z dnia 4 listopada 2022 o numerze LWIMP/W/333/22 wydane przez Politechnika Wrocławską.

Data ważności świadectwa wzorcowania: 4 listopada 2024 (zgodnie z procedurą wewnętrzną P-03).

Termohigrometr:

Oznaczenie:	TH-21	Producent:	AZ INSTRUMENT CORP	Model:	Termohigrometr AZ8706
-------------	-------	------------	--------------------	--------	-----------------------

Data ważności świadectwa wzorcowania: 2 stycznia 2026 (zgodnie z procedurą wewnętrzną P-03).

Dalmierz:

Oznaczenie	Producent	Typ	Numer seryjny	Nr świadectwa wzorcowania	Data świadectwa wzorcowania
D-09	Leica	Dalmierz Leica Disto D510	1042956700	4609.10-M11-4180-1748/14	9 stycznia 2015

Data ważności świadectwa wzorcowania: 9 stycznia 2025 (zgodnie z procedurą wewnętrzną P-03).

Odbiornik GNSS:

Odbiornik GNSS wbudowany w miernik natężenia pola elektromagnetycznego użyty podczas pomiarów	Producent	Model
	UBlox	MAX-M8Q

Odbiorniki podlegają okresowemu sprawdzeniu zgodnie z procedurą wewnętrzną P-03.

9. Wyniki pomiarów

Pole elektryczne

Nr pionu	Opis umiejscowienia pionu (punktu) pomiarowego	Wysokość pomiaru [m]	Zmierzona wartość natężenia pola elektrycznego E [V/m] ^{1,5}	Wartość natężenia pola elektrycznego powiększona o niepewność pomiaru ⁴ E [V/m]	Wskaźnikowa wartość poziomu emisji pól elektromagnetycznych WME ³	Współrzędne geograficzne pionu (punktu) pomiarowego ²
1	DPP w oknie otwartym pokoju księgowości na 1 piętrze budynku spółdzielni mieszkaniowej przy ul. Worcella 44	0.3-2.0	<1.0*	1.6	0.06	54°20'18.2" 18°37'38.3"
2	DPP w oknie otwartym pokoju windyacji na 1 piętrze budynku spółdzielni mieszkaniowej przy ul. Worcella 44	0.3-2.0	<1.0*	1.6	0.06	54°20'17.9" 18°37'38.3"
3	DPP w oknie otwartym pokoju sekretariatu na 1 piętrze budynku spółdzielni mieszkaniowej przy ul. Worcella 44	0.3-2.0	<1.0*	1.6	0.06	54°20'17.9" 18°37'37.9"
4	DPP płaszczyzna okna klatki schodowej na 1 piętrze budynku spółdzielni mieszkaniowej przy ul. Worcella 44	0.3-2.0	<1.0*	1.6	0.06	54°20'18.2" 18°37'39.0"
5	DPP w oknie pokoju mistrza na parterze budynku spółdzielni mieszkaniowej przy ul. Worcella 44	0.3-2.0	<1.0*	1.6	0.06	54°20'18.2" 18°37'40.4"
6	DPP w oknie otwartym mieszkania nr 5 na 2 piętrze budynku przy ul. Bitwy pod Lenino 10	2.0	4.2	6.8	0.24	54°20'19.3" 18°37'41.5"
7	DPP w oknie otwartym pomieszczenia gospodarczego na 2 piętrze budynku przy ul. Bitwy pod Lenino 10	2.0	4.1	6.6	0.24	54°20'19.3" 18°37'41.2"
8	DPP w oknie otwartym klatki schodowej na 2 piętrze budynku przy ul. Bitwy pod Lenino 10	0.3-2.0	<1.0*	1.6	0.06	54°20'19.7" 18°37'41.5"
9	DPP w oknie otwartym mieszkania nr 5 na 1 piętrze budynku przy ul. Bitwy pod Lenino 10	2.0	4.0	6.4	0.23	54°20'19.3" 18°37'42.2"
10	DPP w oknie otwartym mieszkania nr 4 na 1 piętrze budynku przy ul. Bitwy pod Lenino 10	2.0	2.7	4.3	0.16	54°20'19.3" 18°37'42.6"
11	PKP w wejściu do budynku szkoły przy ul. Wocella 44a	2.0	1.9	3.1	0.11	54°20'19.0" 18°37'35.0"
12	PKP w wejściu do parterowego budynku usługowego- optyk	2.0	1.9	3.1	0.11	54°20'18.2" 18°37'35.0"
13	DPP wewnątrz budynku apteki	0.3-2.0	<1.0*	1.6	0.06	54°20'17.9" 18°37'35.0"
14	GKP w odległości 15m od anteny sektorowej az.55°	2.0	1.7	2.7	0.1	54°20'18.2" 18°37'38.6"
15	GKP w odległości 29m od anteny sektorowej az.55°	2.0	1.9	3.1	0.11	54°20'18.6" 18°37'39.4"
16	GKP w odległości 59m od anteny sektorowej az.55°	2.0	1.5	2.4	0.09	54°20'19.3" 18°37'40.8"
17	GKP w odległości 106m od anteny sektorowej az. 55°	2.0	1.3	2.1	0.07	54°20'20.0" 18°37'43.0"

Sprawozdanie z badań bez pisemnej zgody laboratorium nie może być powielane inaczej niż w całości.
 Wynik przedstawione w niniejszym sprawozdaniu odnoszą się wyłącznie do badanego obiektu i do warunków i konfiguracji urządzeń w dniu wykonywania pomiarów.

18	GKP w odległości 15m od anteny sektorowej az.205°	2.0	1.9	3.1	0.11	54°20'17.5" 18°37'37.6"
19	GKP w odległości 51m od anteny sektorowej az.205°	2.0	2.1	3.4	0.12	54°20'16.4" 18°37'36.8"
20	GKP w odległości 103m od anteny sektorowej az. 205°	2.0	2.3	3.7	0.13	54°20'15.0" 18°37'35.8"
21	GKP w odległości 19m od anteny sektorowej az.285°	2.0	1.8	2.9	0.1	54°20'18.2" 18°37'37.2"
22	GKP w odległości 49m od anteny sektorowej az. 285°	2.0	1.9	3.1	0.11	54°20'18.6" 18°37'35.4"
23	GKP w odległości 104m od anteny sektorowej az. 285°	2.0	1.2	1.9	0.07	54°20'19.0" 18°37'32.5"
24	PKP na az. 20° w odległości 54m od anteny sektorowej az. 55°	0.3-2.0	<1.0*	1.6	0.06	54°20'19.7" 18°37'39.0"
25	PKP na az. 35° w odległości 62m od anteny sektorowej az. 55°	0.3-2.0	<1.0*	1.6	0.06	54°20'19.7" 18°37'40.1"
26	PKP na az. 48° w odległości 52m od anteny sektorowej az. 55°	2.0	1.6	2.6	0.09	54°20'19.3" 18°37'40.1"
27	PKP na az. 62° w odległości 52m od anteny sektorowej az. 55°	2.0	1.7	2.7	0.1	54°20'19.0" 18°37'40.8"
28	PKP na az. 75° w odległości 53m od anteny sektorowej az. 55°	2.0	1.5	2.4	0.09	54°20'18.6" 18°37'40.8"
29	PKP na az. 90° w odległości 39m od anteny sektorowej az. 55°	0.3-2.0	<1.0*	1.6	0.06	54°20'18.2" 18°37'40.1"
30	PKP na az. 170° w odległości 53m od anteny sektorowej az. 205°	2.0	1.7	2.7	0.1	54°20'16.4" 18°37'38.6"
31	PKP na az. 185° w odległości 52m od anteny sektorowej az. 205°	2.0	1.9	3.1	0.11	54°20'16.4" 18°37'37.9"
32	PKP na az. 198° w odległości 52m od anteny sektorowej az. 205°	2.0	2.0	3.2	0.11	54°20'16.4" 18°37'37.2"
33	PKP na az. 212° w odległości 52m od anteny sektorowej az. 205°	2.0	1.9	3.1	0.11	54°20'16.8" 18°37'36.5"
34	PKP na az. 225° w odległości 52m od anteny sektorowej az. 205°	2.0	1.7	2.7	0.1	54°20'16.8" 18°37'36.1"
35	PKP na az. 240° w odległości 52m od anteny sektorowej az. 205°	2.0	1.6	2.6	0.09	54°20'17.2" 18°37'35.8"
36	PKP na az. 250° w odległości 51m od anteny sektorowej az. 285°	2.0	1.4	2.3	0.08	54°20'17.5" 18°37'35.4"
37	PKP na az. 265° w odległości 49m od anteny sektorowej az. 285°	2.0	1.6	2.6	0.09	54°20'17.9" 18°37'35.4"
38	PKP na az. 278° w odległości 51m od anteny sektorowej az. 285°	2.0	1.9	3.1	0.11	54°20'18.2" 18°37'35.4"
39	PKP na az. 292° w odległości 51m od anteny sektorowej az. 285°	2.0	2.1	3.4	0.12	54°20'18.6" 18°37'35.4"
40	PKP na az. 305° w odległości 51m od anteny sektorowej az. 285°	2.0	1.8	2.9	0.1	54°20'19.0" 18°37'35.8"
41	PKP na az. 320° w odległości 51m od anteny sektorowej az. 285°	2.0	1.7	2.7	0.1	54°20'19.3" 18°37'36.1"
42	PKP na az. 131° w odległości 49m od anteny sektorowej az. 55°	2.0	1.5	2.4	0.09	54°20'17.2" 18°37'40.1"

Sprawozdanie z badań bez pisemnej zgody laboratorium nie może być powielane inaczej niż w całości.
 Wynik przedstawione w niniejszym sprawozdaniu odnoszą się wyłącznie do badanego obiektu i do warunków i konfiguracji urządzeń w dniu wykonywania pomiarów.

43	PKP na az. 347° w odległości 26m od anteny sektorowej az. 55°	2.0	1.7	2.7	0.1	54°20'19.0" 18°37'37.9"
44	GKP w odległości 93m od anteny sektorowej az. 55°	0.3-2.0	<1.0*	1.6	0.06	54°20'19.7" 18°37'42.2"
-	GKP w odległości 146m od anteny sektorowej az. 55°	2.0	1.4	2.3	0.08	54°20'20.8" 18°37'44.8"
46	GKP w odległości 93m od anteny sektorowej az. 205°	2.0	2.4	3.9	0.14	54°20'15.4" 18°37'35.8"
47	GKP w odległości 114m od anteny sektorowej az. 205°	2.0	2.4	3.9	0.14	54°20'14.6" 18°37'35.4"
-	GKP w odległości 164m od anteny sektorowej az. 205°	2.0	1.7	2.7	0.1	54°20'13.2" 18°37'34.3"
49	GKP w odległości 95m od anteny sektorowej az. 285°	2.0	1.3	2.1	0.07	54°20'19.0" 18°37'32.9"
50	GKP w odległości 129m od anteny sektorowej az. 285°	0.3-2.0	<1.0*	1.6	0.06	54°20'19.3" 18°37'31.1"
-	GKP w odległości 146m od anteny sektorowej az. 285°	2.0	1.2	1.9	0.07	54°20'19.3" 18°37'30.4"

Pole magnetyczne (wyznaczone na podstawie pomiaru wartości natężenia pola elektrycznego)

Nr pionu	Opis umiejscowienia pionu (punktu pomiarowego)	Wysokość pomiaru [m]	Wartość natężenia pola magnetycznego H [A/m] ¹	Wartość natężenia pola magnetycznego powiększona o niepewność pomiaru ⁴ H [A/m]	Wskaźnikowa wartość poziomu emisji pól elektromagnetycznych WM _H ³	Współrzędne geograficzne pionu (punktu pomiarowego) ²
1	DPP w oknie otwartym pokoju księgowości na 1 piętrze budynku spółdzielni mieszkaniowej przy ul. Worcella 44	0.3-2.0	<0.003*	0.004	0.06	54°20'18.2" 18°37'38.3"
2	DPP w oknie otwartym pokoju windykacji na 1 piętrze budynku spółdzielni mieszkaniowej przy ul. Worcella 44	0.3-2.0	<0.003*	0.004	0.06	54°20'17.9" 18°37'38.3"
3	DPP w oknie otwartym pokoju sekretariatu na 1 piętrze budynku spółdzielni mieszkaniowej przy ul. Worcella 44	0.3-2.0	<0.003*	0.004	0.06	54°20'17.9" 18°37'37.9"
4	DPP płaszczyzna okna klatki schodowej na 1 piętrze budynku spółdzielni mieszkaniowej przy ul. Worcella 44	0.3-2.0	<0.003*	0.004	0.06	54°20'18.2" 18°37'39.0"
5	DPP w oknie pokoju mistrza na parterze budynku spółdzielni mieszkaniowej przy ul. Worcella 44	0.3-2.0	<0.003*	0.004	0.06	54°20'18.2" 18°37'40.4"
6	DPP w oknie otwartym mieszkania nr 5 na 2 piętrze budynku przy ul. Bitwy pod Lenino 10	2.0	0.011	0.018	0.25	54°20'19.3" 18°37'41.5"
7	DPP w oknie otwartym pomieszczenia gospodarczego na 2 piętrze budynku przy ul. Bitwy pod Lenino 10	2.0	0.011	0.017	0.24	54°20'19.3" 18°37'41.2"
8	DPP w oknie otwartym klatki schodowej na 2 piętrze budynku przy ul. Bitwy pod Lenino 10	0.3-2.0	<0.003*	0.004	0.06	54°20'19.7" 18°37'41.5"
9	DPP w oknie otwartym mieszkania nr 5 na 1	2.0	0.011	0.017	0.23	54°20'19.3" 18°37'42.2"

Sprawozdanie z badań bez pisemnej zgody laboratorium nie może być powielane inaczej niż w całości.
 Wynik przedstawione w niniejszym sprawozdaniu odnoszą się wyłącznie do badanego obiektu i do warunków i konfiguracji urządzeń w dniu wykonywania pomiarów.

	piętrze budynku przy ul Bitwy pod Lenino 10					
10	DPP w oknie otwartym mieszkania nr 4 na 1 piętrze budynku przy ul Bitwy pod Lenino 10	2.0	0.007	0.012	0.16	54°20'19.3" 18°37'42.6"
11	PKP w wejściu do budynku szkoły przy ul. Wocella 44a	2.0	0.005	0.008	0.11	54°20'19.0" 18°37'35.0"
12	PKP w wejściu do parterowego budynku usługowego- optyk	2.0	0.005	0.008	0.11	54°20'18.2" 18°37'35.0"
13	DPP wewnątrz budynku apteki	0.3-2.0	<0.003*	0.004	0.06	54°20'17.9" 18°37'35.0"
14	GKP w odległości 15m od anteny sektorowej az. 55°	2.0	0.005	0.007	0.1	54°20'18.2" 18°37'38.6"
15	GKP w odległości 29m od anteny sektorowej az. 55°	2.0	0.005	0.008	0.11	54°20'18.6" 18°37'39.4"
16	GKP w odległości 59m od anteny sektorowej az. 55°	2.0	0.004	0.006	0.09	54°20'19.3" 18°37'40.8"
17	GKP w odległości 106m od anteny sektorowej az. 55°	2.0	0.003	0.006	0.08	54°20'20.0" 18°37'43.0"
18	GKP w odległości 15m od anteny sektorowej az. 205°	2.0	0.005	0.008	0.11	54°20'17.5" 18°37'37.6"
19	GKP w odległości 51m od anteny sektorowej az. 205°	2.0	0.006	0.009	0.12	54°20'16.4" 18°37'36.8"
20	GKP w odległości 103m od anteny sektorowej az. 205°	2.0	0.006	0.01	0.13	54°20'15.0" 18°37'35.8"
21	GKP w odległości 19m od anteny sektorowej az. 285°	2.0	0.005	0.008	0.11	54°20'18.2" 18°37'37.2"
22	GKP w odległości 49m od anteny sektorowej az. 285°	2.0	0.005	0.008	0.11	54°20'18.6" 18°37'35.4"
23	GKP w odległości 104m od anteny sektorowej az. 285°	2.0	0.003	0.005	0.07	54°20'19.0" 18°37'32.5"
24	PKP na az. 20° w odległości 54m od anteny sektorowej az. 55°	0.3-2.0	<0.003*	0.004	0.06	54°20'19.7" 18°37'39.0"
25	PKP na az. 35° w odległości 62m od anteny sektorowej az. 55°	0.3-2.0	<0.003*	0.004	0.06	54°20'19.7" 18°37'40.1"
26	PKP na az. 48° w odległości 52m od anteny sektorowej az. 55°	2.0	0.004	0.007	0.09	54°20'19.3" 18°37'40.1"
27	PKP na az. 62° w odległości 52m od anteny sektorowej az. 55°	2.0	0.005	0.007	0.1	54°20'19.0" 18°37'40.8"
28	PKP na az. 75° w odległości 53m od anteny sektorowej az. 55°	2.0	0.004	0.006	0.09	54°20'18.6" 18°37'40.8"
29	PKP na az. 90° w odległości 39m od anteny sektorowej az. 55°	0.3-2.0	<0.003*	0.004	0.06	54°20'18.2" 18°37'40.1"
30	PKP na az. 170° w odległości 53m od anteny sektorowej az. 205°	2.0	0.005	0.007	0.1	54°20'16.4" 18°37'38.6"
31	PKP na az. 185° w odległości 52m od anteny sektorowej az. 205°	2.0	0.005	0.008	0.11	54°20'16.4" 18°37'37.9"
32	PKP na az. 198° w odległości 52m od anteny sektorowej az. 205°	2.0	0.005	0.009	0.12	54°20'16.4" 18°37'37.2"
33	PKP na az. 212° w odległości 52m od anteny sektorowej az. 205°	2.0	0.005	0.008	0.11	54°20'16.8" 18°37'36.5"

Sprawozdanie z badań bez pisemnej zgody laboratorium nie może być powielane inaczej niż w całości.
 Wynik przedstawione w niniejszym sprawozdaniu odnoszą się wyłącznie do badanego obiektu i do warunków i konfiguracji urządzeń w dniu wykonywania pomiarów.

34	PKP na az. 225° w odległości 52m od anteny sektorowej az. 205°	2.0	0.005	0.007	0.1	54°20'16.8" 18°37'36.1"
35	PKP na az. 240° w odległości 52m od anteny sektorowej az. 205°	2.0	0.004	0.007	0.09	54°20'17.2" 18°37'35.8"
36	PKP na az. 250° w odległości 51m od anteny sektorowej az. 285°	2.0	0.004	0.006	0.08	54°20'17.5" 18°37'35.4"
37	PKP na az. 265° w odległości 49m od anteny sektorowej az. 285°	2.0	0.004	0.007	0.09	54°20'17.9" 18°37'35.4"
38	PKP na az. 278° w odległości 51m od anteny sektorowej az. 285°	2.0	0.005	0.008	0.11	54°20'18.2" 18°37'35.4"
39	PKP na az. 292° w odległości 51m od anteny sektorowej az. 285°	2.0	0.006	0.009	0.12	54°20'18.6" 18°37'35.4"
40	PKP na az. 305° w odległości 51m od anteny sektorowej az. 285°	2.0	0.005	0.008	0.11	54°20'19.0" 18°37'35.8"
41	PKP na az. 320° w odległości 51m od anteny sektorowej az. 285°	2.0	0.005	0.007	0.1	54°20'19.3" 18°37'36.1"
42	PKP na az. 131° w odległości 49m od anteny sektorowej az. 55°	2.0	0.004	0.006	0.09	54°20'17.2" 18°37'40.1"
43	PKP na az. 347° w odległości 26m od anteny sektorowej az. 55°	2.0	0.005	0.007	0.1	54°20'19.0" 18°37'37.9"
44	GKP w odległości 93m od anteny sektorowej az. 55°	0.3-2.0	<0.003*	0.004	0.06	54°20'19.7" 18°37'42.2"
-	GKP w odległości 146m od anteny sektorowej az. 55°	2.0	0.004	0.006	0.08	54°20'20.8" 18°37'44.8"
46	GKP w odległości 93m od anteny sektorowej az. 205°	2.0	0.006	0.01	0.14	54°20'15.4" 18°37'35.8"
47	GKP w odległości 114m od anteny sektorowej az. 205°	2.0	0.006	0.01	0.14	54°20'14.6" 18°37'35.4"
-	GKP w odległości 164m od anteny sektorowej az. 205°	2.0	0.005	0.007	0.1	54°20'13.2" 18°37'34.3"
49	GKP w odległości 95m od anteny sektorowej az. 285°	2.0	0.003	0.006	0.08	54°20'19.0" 18°37'32.9"
50	GKP w odległości 129m od anteny sektorowej az. 285°	0.3-2.0	<0.003*	0.004	0.06	54°20'19.3" 18°37'31.1"
-	GKP w odległości 146m od anteny sektorowej az. 285°	2.0	0.003	0.005	0.07	54°20'19.3" 18°37'30.4"

GKP – Główny Kierunek Pomiarowy

DPP – Dodatkowy Pion Pomiarowy

PKP – Pomocniczy Kierunek Pomiarowy

¹ wyniki oznaczone * są wynikami poniżej czułości zestawu pomiarowego i są wynikami spoza zakresu akredytacji. Do obliczenia wyniku skorygowanego przyjęto wartość skorelowaną z rzeczywistym wynikiem pomiaru - dolną granicę akredytowanego zakresu pomiarowego metody

² współrzędne geograficzne pozyskane metodą pomiaru bezpośredniego

³ do wyznaczenia wartości wskaźnikowej W_{M_E} i W_{M_H} przyjęto na podstawie uzgodnień z klientem oraz rozpoznania źródeł, jako wartości dopuszczalne pola elektrycznego i magnetycznego odpowiednio 28 V/m i 0,073 A/m.

⁴ do wyznaczenia niepewności dla wyników poniżej czułości zestawu pomiarowego, przyjęto niepewność dla minimalnej wartości z zakresu pomiarowego.

⁵ maksymalna wartość chwilowa

Niepewność oszacowano zgodnie z dokumentem P-03 „Procedura nadzoru nad wyposażeniem” w postaci niepewności rozszerzonej wynikającej z niepewności standardowej pomnożonej przez współczynnik rozszerzenia $k=2$.

Całkowita szacowana niepewność rozszerzona składowej E wynosi odpowiednio: 60.8% dla częstotliwości do 40 GHz

Sprawozdanie z badań bez pisemnej zgody laboratorium nie może być powielane inaczej niż w całości.
 Wynik przedstawione w niniejszym sprawozdaniu odnoszą się wyłącznie do badanego obiektu i do warunków i konfiguracji urządzeń w dniu wykonywania pomiarów.

Pomiarów nie wykonano:

Oznaczenie braku dostępu	Opis umiejscowienia
A	W mieszkaniach nr 3, 2, 1 pod adresem Bitwy pod Lenino 10, z powodu braku mieszkańców
B	W szkole podstawowej pod adresem Worcella 44a, z powodu terenu zamkniętego
C	W budynku usługowym pod adresem Worcella 44a, z powodu Sklep zamknięty

Umiejscowienie pionów (punktów) pomiarowych przedstawiono w załączniku nr 2 do niniejszego sprawozdania.

10. Omówienie wyników pomiarów

W związku z tym, że żadna z wartości zmierzonych, udokumentowanych w tabelach w pkt. 9, uzyskanych w skutek zastosowania pomiaru szerokopasmowego, powiększonego o rozszerzoną niepewność pomiaru U dla współczynnika rozszerzenia $k = 2$ nie przekroczyła 70% najniższej dopuszczalnej wartości składowej elektrycznej lub magnetycznej pola dla objętych pomiarami zakresów częstotliwości, nie uwzględnia się poprawek pomiarowych.

W wyniku zastosowania sposobu sprawdzenia dotrzymania dopuszczalnych poziomów pól elektromagnetycznych w środowisku, zgodnie pkt 25 ppkt 1 Rozporządzenia Ministra Klimatu z dnia 17 lutego 2020 r. (Dz. U. 2022, poz. 2630), w związku z tym, że żadna z wartości wskaźnikowych, udokumentowanych w tabelach w pkt. 9 nie przekracza wartości 1, stwierdza się, że w miejscach, w których wykonano pomiary w otoczeniu instalacji radiokomunikacyjnej 763 (40048N!) ORUNIA NMT (GGD_GDANSK_WORCELLA44), dopuszczalne poziomy pól elektromagnetycznych w środowisku należy uznać za dotrzymane.

Miejsca niedostępne podczas wykonywania pomiarów wskazane zostały w pkt. 9 (Wyniki pomiarów) lub na załączniku przedstawiającym usytuowanie pionów pomiarowych

11. Podstawa prawna

- 1) Ustawa z dnia 27 kwietnia 2001 r. Prawo ochrony środowiska (Dz.U. 2022 poz. 2556)
- 2) Rozporządzenie Ministra Zdrowia z dnia 17 grudnia 2019 r. w sprawie dopuszczalnych poziomów pól elektromagnetycznych w środowisku (Dz. U. 2019, poz. 2448)
- 3) Rozporządzenie Ministra Klimatu z dnia 17 lutego 2020 r. w sprawie sposobów sprawdzania dotrzymania dopuszczalnych poziomów pól elektromagnetycznych w środowisku (Dz. U. 2022, poz. 2630),
- 4) Akredytacja nr AB 419 wydana przez Polskie Centrum Akredytacji (wydanie 22, z dnia 9 stycznia 2024 r.)

12. Spis załączników

- Załącznik 1. Lokalizacja obiektu badań
- Załącznik 2. Usytuowanie pionów (punktów) pomiarowych
- Załącznik 3. Dokumentacja fotograficzna obiektu badań

13. Data wydania i autoryzowania sprawozdania

Obliczenia i sprawozdanie wykonał :

Sprawozdanie autoryzował:

Koniec sprawozdania

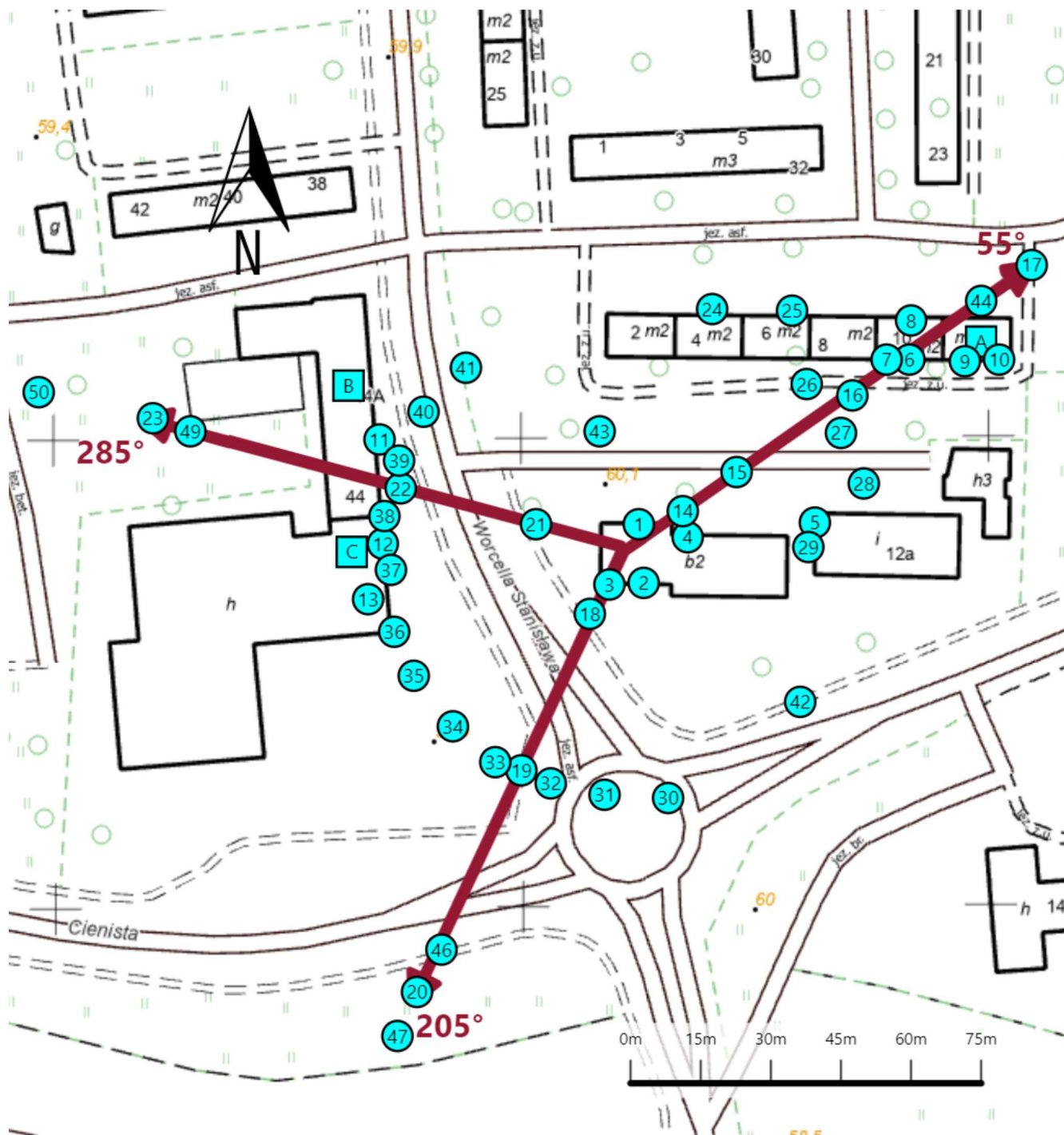
Sprawozdanie z badań bez pisemnej zgody laboratorium nie może być powielane inaczej niż w całości.
Wynik przedstawione w niniejszym sprawozdaniu odnoszą się wyłącznie do badanego obiektu i do warunków i konfiguracji urządzeń w dniu wykonywania pomiarów.



Załącznik nr 1

Instalacja radiokomunikacyjna Orange Polska S.A.
763 (40048N!) ORUNIA NMT (GGD_GDANSK_WORCELLA44)

Lokalizacja instalacji



Załącznik nr 2	<p style="text-align: center;">Instalacja radiokomunikacyjna Orange Polska S.A. GGD_GDANSK_WORCELLA44 (40048N!)</p> <p style="text-align: center;">Uytuowanie pionów pomiarowych w otoczeniu instalacji radiokomunikacyjnej</p>
Legenda:	<p style="text-align: center;"> X Brak dostępu X Pion pomiarowy → Kierunek oddziaływania anten sektorowych </p>



Załącznik nr 3

Instalacja radiokomunikacyjna Orange Polska S.A.
763 (40048N!) ORUNIA NMT (GGD_GDANSK_WORCELLA44)

Dokumentacja fotograficzna